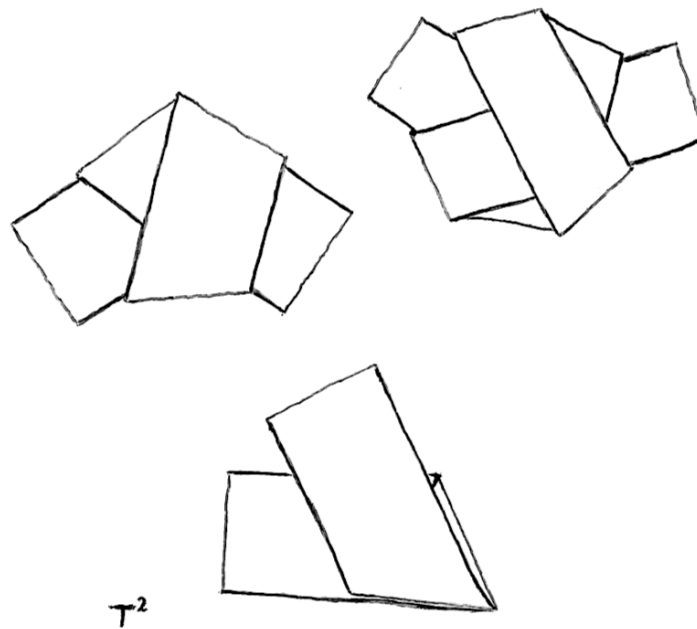


*Science*

*à partir*



*d'une feuille de papier*

Tadashi Tokieda, Fleurance août 2011

3,141592653589493 . . .

?

3,141592653589493 . . .

7

/

$\pi$

299792458 . . .

?

3,141592653589493 ...  
*7*  
*/*

$\pi$

299792458 ...

c , vitesse de la lumière  
dans le vide

0,562066276 ...

?

~~3,141592653589493 . . .~~

7

$\pi$

299792458 . . .

c , vitesse de la lumière  
dans le vide

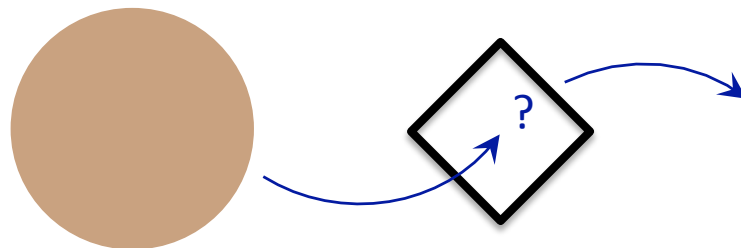
0,562066276 . . .

numéro de téléphone  
festival d'astronomie

2,5

entre 2 et 3 ,  
la *dimension* d'une feuille de papier . . .

Passe-passe

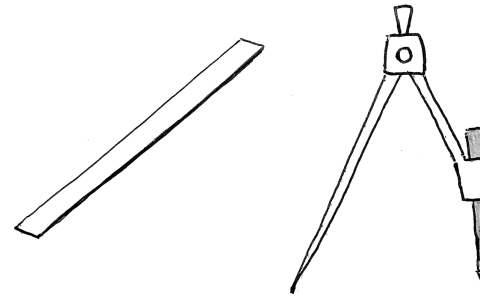


visiblement impossible



E. Galois 1811–1832

A l'aide d'une règle et d'un compas



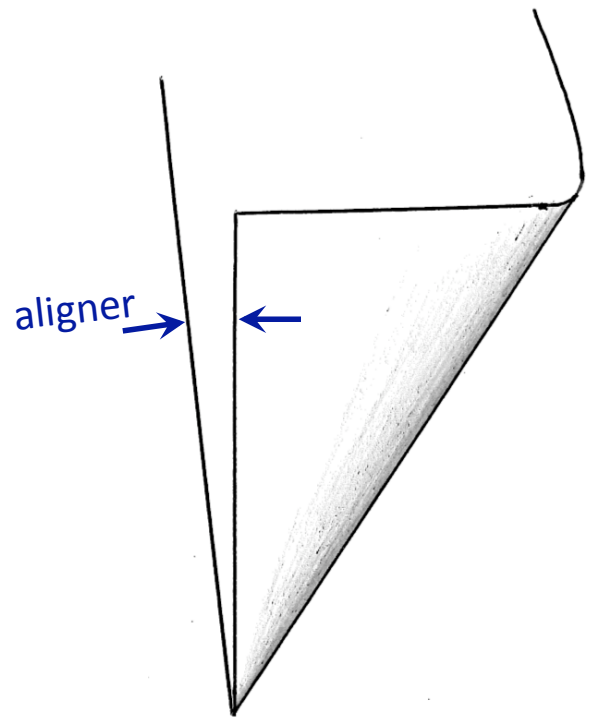
peut-on diviser tout angle  
en 3 parties égales ?

Non : par ex  $60^\circ$  impossible à trisecter .

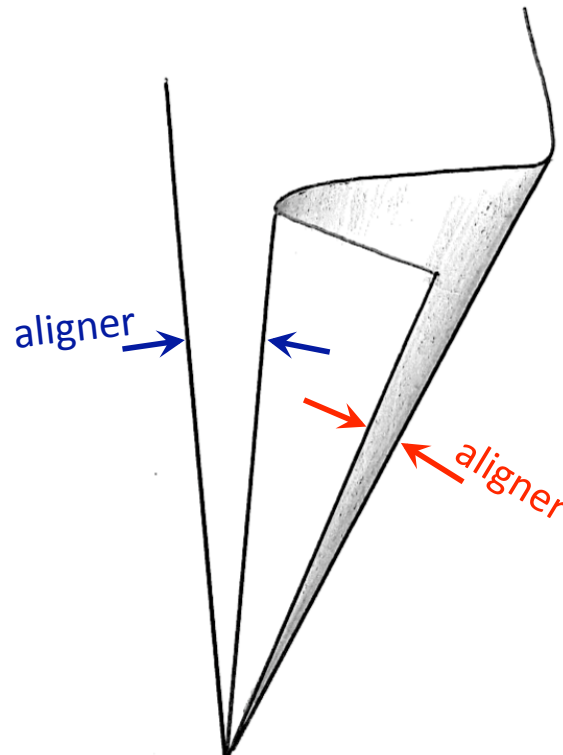
Mais SI , à l'aide du pliage de papier : *origami* .

折紙





bissection



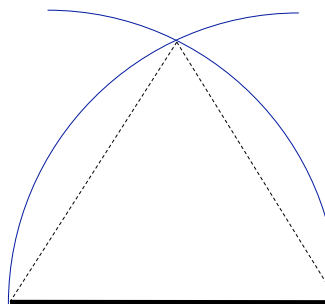
trisection

$N$ -section . . .



C. F. Gauss 1777–1855

Pour quel  $N$   
peut-on dessiner  
un polygone régulier à  $N$  côtés ?



$N = 3$  possible . . .

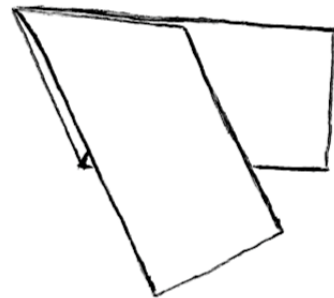
$N$  doit être de la forme : puissance de 2  $\times (2^{2^n} + 1)$

= puissance de 2  $\times (3, 5, 17, 257, \dots)$

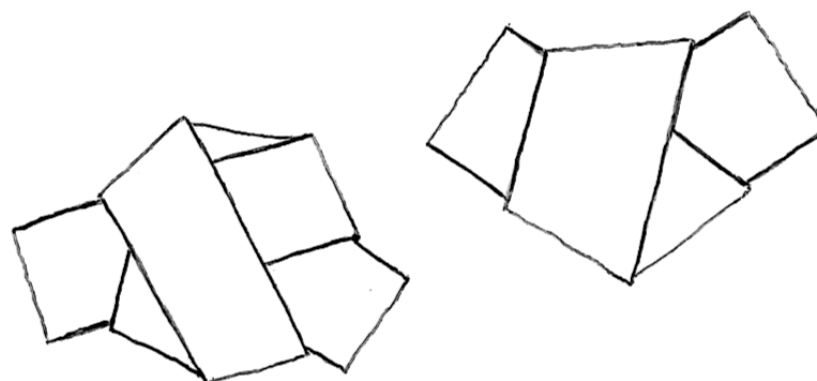


Mais avec *origami*, TOUT  $N$  possible .

$N = 3$



$N = 5$



$N = 7$

etc., etc.

+ bissection facile pour  $N$  pair

Maintenant passons (doucement)

géométrie → physique

Bientôt nous passerons (subrepticement)

physique → génie astronautique

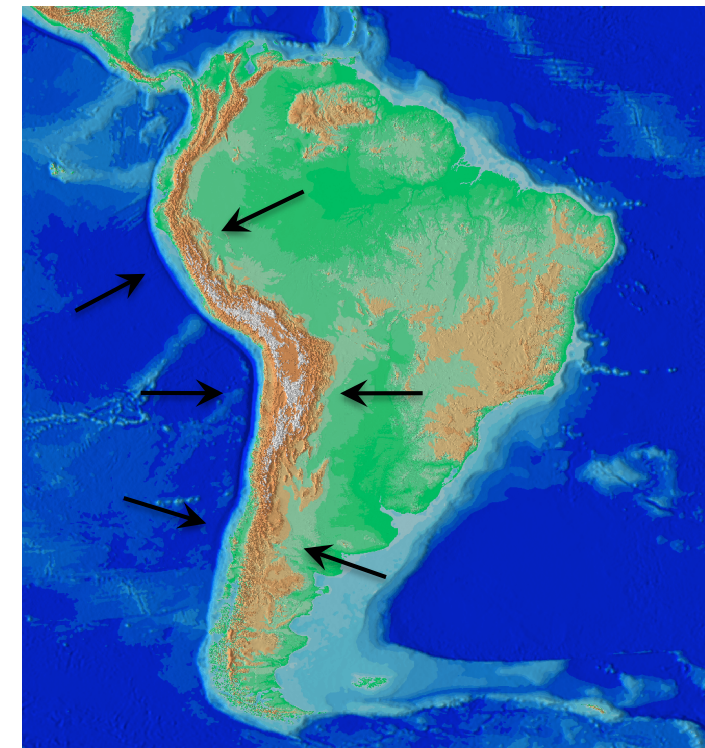


< mm

Origami , flambage , froissement  
déliqué  
aléatoire

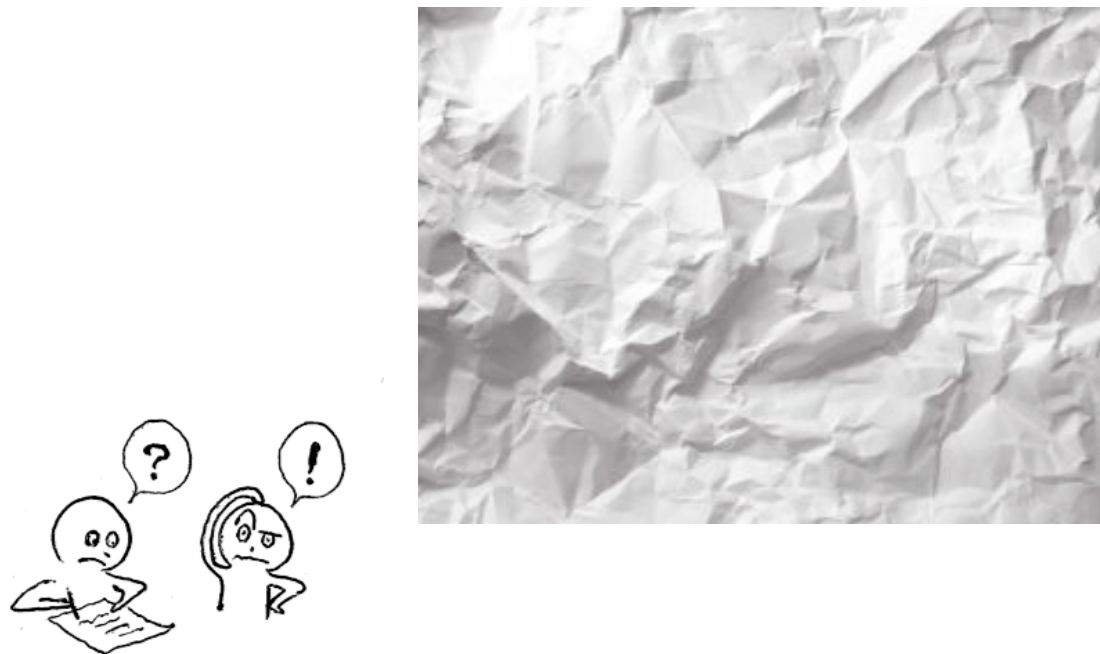


cm – m



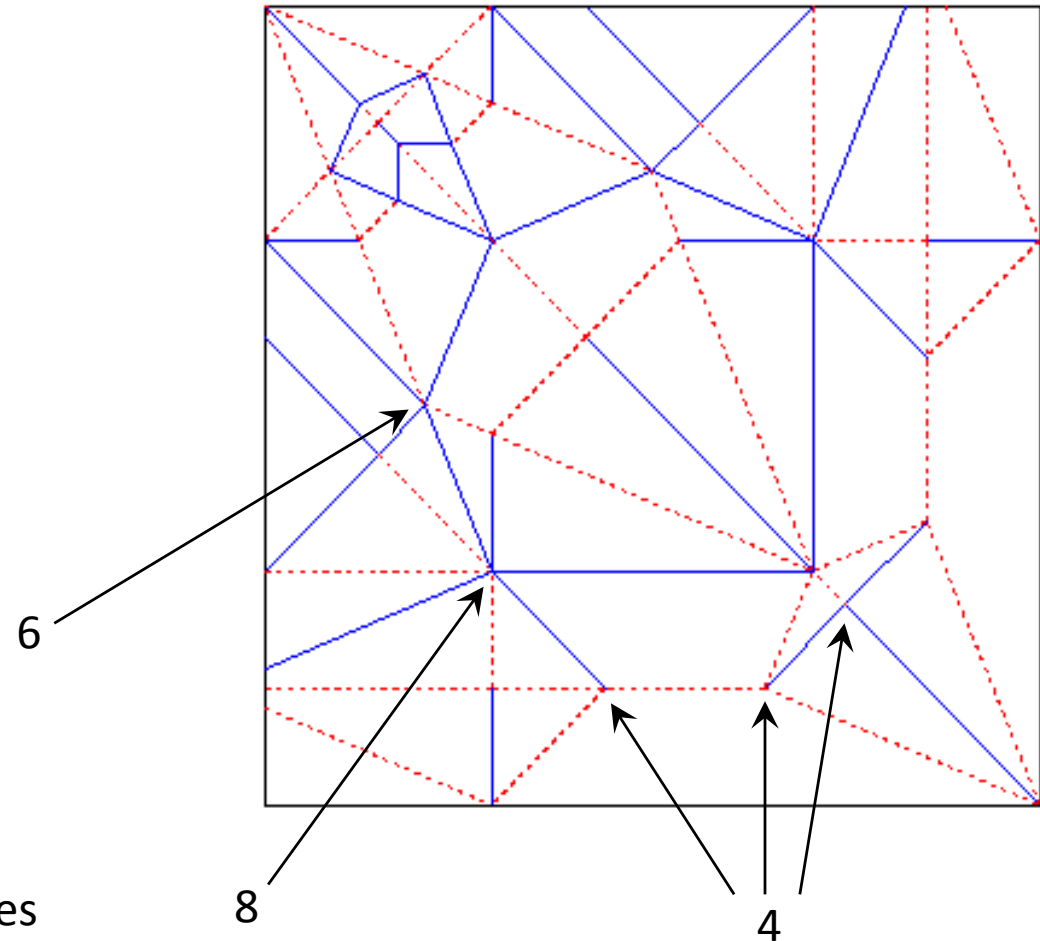
km <

Lois régissant tous ces phénomènes ,  
jusqu'aux froissements aléatoires ?

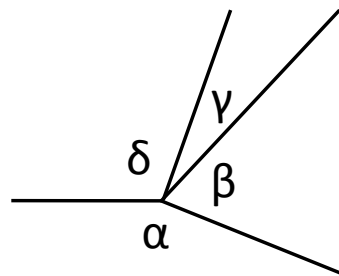




Autour de chaque sommet ,  
toujours un nombre *pair* d'arêtes



Le cas le plus simple :



4 angles  $\alpha , \beta , \gamma , \delta$  .

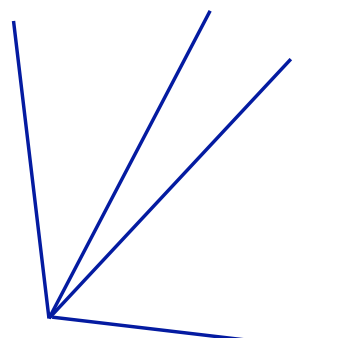
**Théorème :** froissement aplati

$$\iff \left\{ \begin{array}{l} \alpha + \beta + \gamma + \delta = 360^\circ \\ \text{et} \\ \alpha + \gamma = \beta + \delta \end{array} \right.$$

En général, les angles

$$\alpha_1, \alpha_2, \alpha_3, \dots, \alpha_{2n}$$

réalisables par froissement aplati

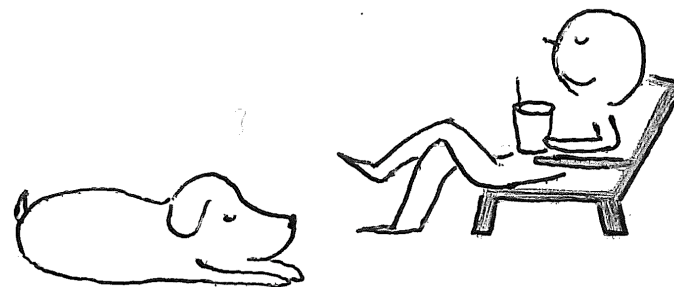


froissement irréalisable

$$\iff \left\{ \begin{array}{l} \sum \alpha = 360^\circ \\ \text{et} \\ \boxed{\sum \pm \alpha = +\alpha_1 - \alpha_2 + \alpha_3 - \alpha_4 + - \cdots = 0} \end{array} \right.$$

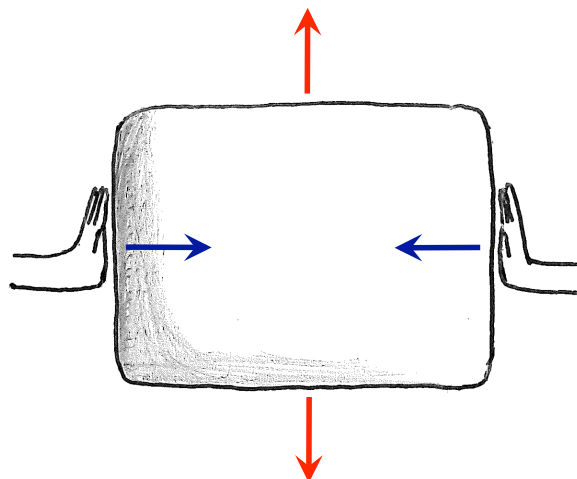
*Pause*

なかやすみ





S. D. Poisson 1781–1840



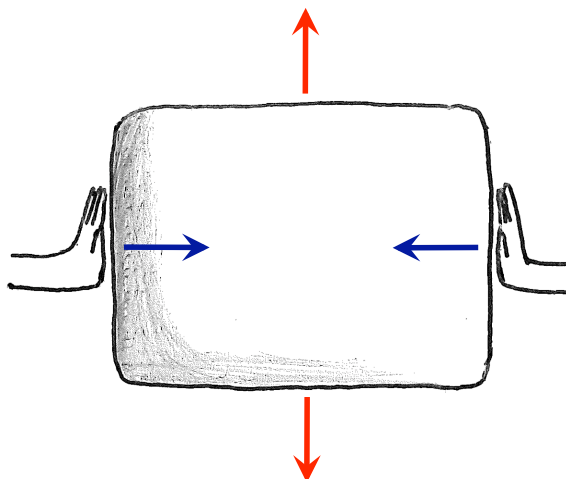
*rapport de Poisson*

$$= \frac{\text{renflement}}{\text{reserrement}}$$

noté . . .



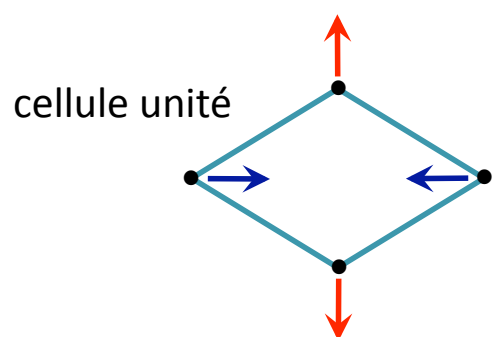
S. D. Poisson 1781–1840



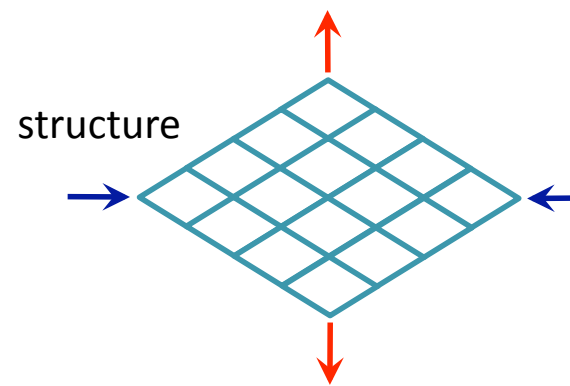
*rapport de Poisson*

$$= \frac{\text{renflement}}{\text{reserrement}}$$

noté

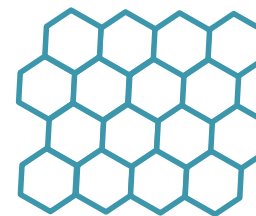
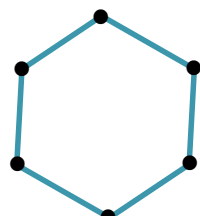


cellule unité



structure

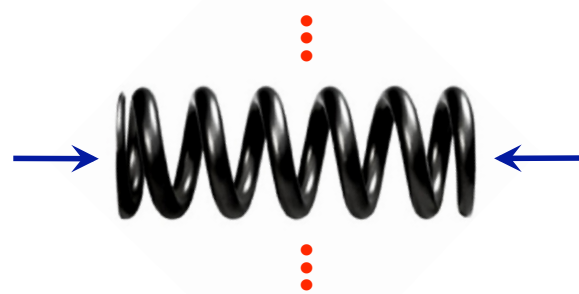
$> 0$



$> 0$

Croyance traditionnelle :  $\alpha > 0$

Pour les *ressorts*



$\alpha \approx 0$  mais  $> 0$  quand même .



# THÉORIE DE L'ÉLASTICITÉ

Les composantes  $u_{xx}$  et  $u_{yy}$  déterminent la compression relative transversale de la barre. Le rapport de la compression transversale à l'allongement longitudinal est le coefficient de Poisson  $\sigma$ <sup>1</sup>:

$$u_{xx} = -\sigma u_{zz}, \quad (5,4)$$

où

$$\sigma = \frac{1}{2} \frac{3K - 2\mu}{3K + \mu}. \quad (5,5)$$

$K$  et  $\mu$  étant toujours positifs, le coefficient de Poisson pour différentes matières ne peut varier qu'entre  $-1$  (pour  $K = 0$ ) et  $\frac{1}{2}$  (pour  $\mu = 0$ ). Ainsi<sup>2</sup>,

$$-1 < \sigma < \frac{1}{2}. \quad (5,6)$$

Enfin, l'accroissement relatif du volume de la barre en traction est

$$u_{ii} = p \frac{1}{3K}. \quad (5,7)$$

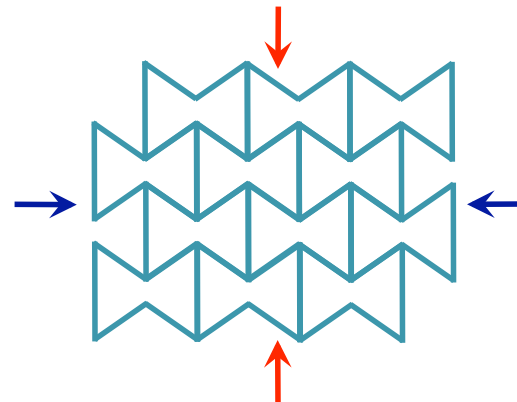
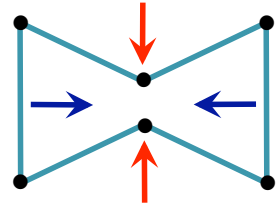
On peut écrire l'énergie libre de la barre distendue en utilisant directement la formule (4,10). Seule la composante  $\sigma_{zz}$  n'étant pas

<sup>1</sup> La notation  $\sigma$  du coefficient de Poisson et  $\sigma_{ik}$  des composantes du tenseur des contraintes n'est pas ambiguë, vu la présence des indices.

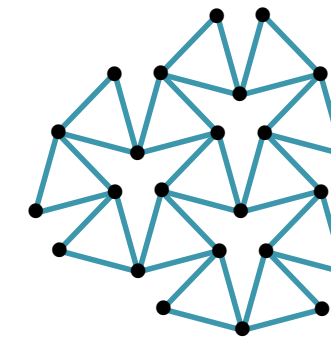
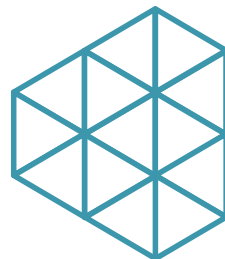
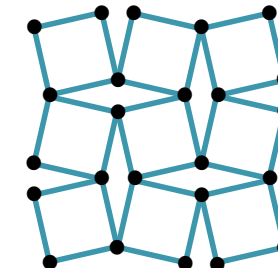
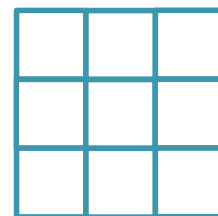
<sup>2</sup> En fait, le coefficient de Poisson ne varie qu'entre 0 et 1/2. On ne connaît pas de corps dans la nature pour lesquels  $\sigma < 0$ , c'est-à-dire qui enfleraient tout en s'allongeant. Signalons encore qu'à  $\sigma > 0$  correspond  $\lambda > 0$ ,  $\lambda$  étant le coefficient de Lamé figurant dans (4,1); autrement dit, les deux termes dans (4,1) sont en fait toujours positifs tout comme dans (4,3), bien que cela ne soit pas nécessaire aux termes de la thermodynamique. Les valeurs de  $\sigma$  voisines de 1/2 (caoutchouc par exemple) correspondent à un module de glissement petit à l'égard du module de compression.

## Structures avec < 0

par concavité



modèles à rotations alternées



... versions 3D aussi disponibles

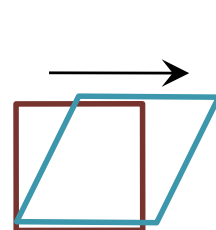
$$-1 < \text{fish} < 1/2$$

**lim** *incisaillable*

### - lim incompressible

( factorisation polaire de toute matrice carrée = unitaire  $\times$  hermitienne )

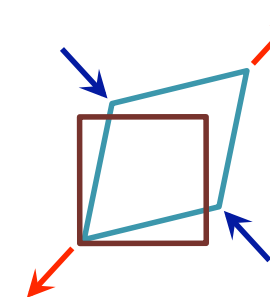
cisaillement



-

puis

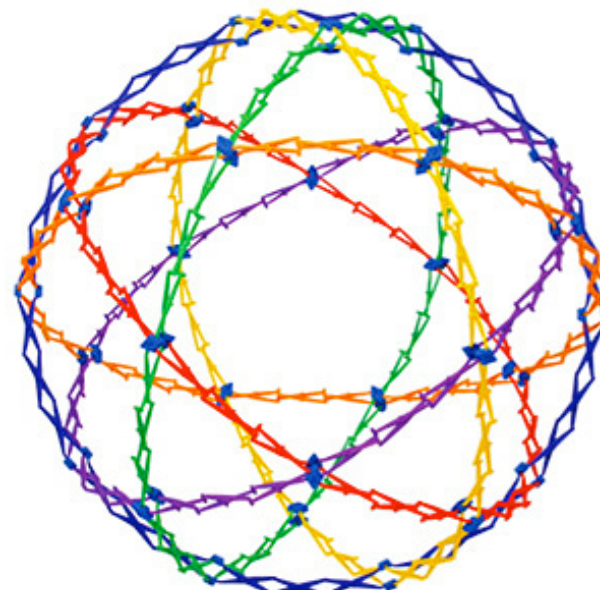
## rotation



cette étape difficile  
quand  < 0

d'autres modèles avec   $< 0$

sphère de Hoberman

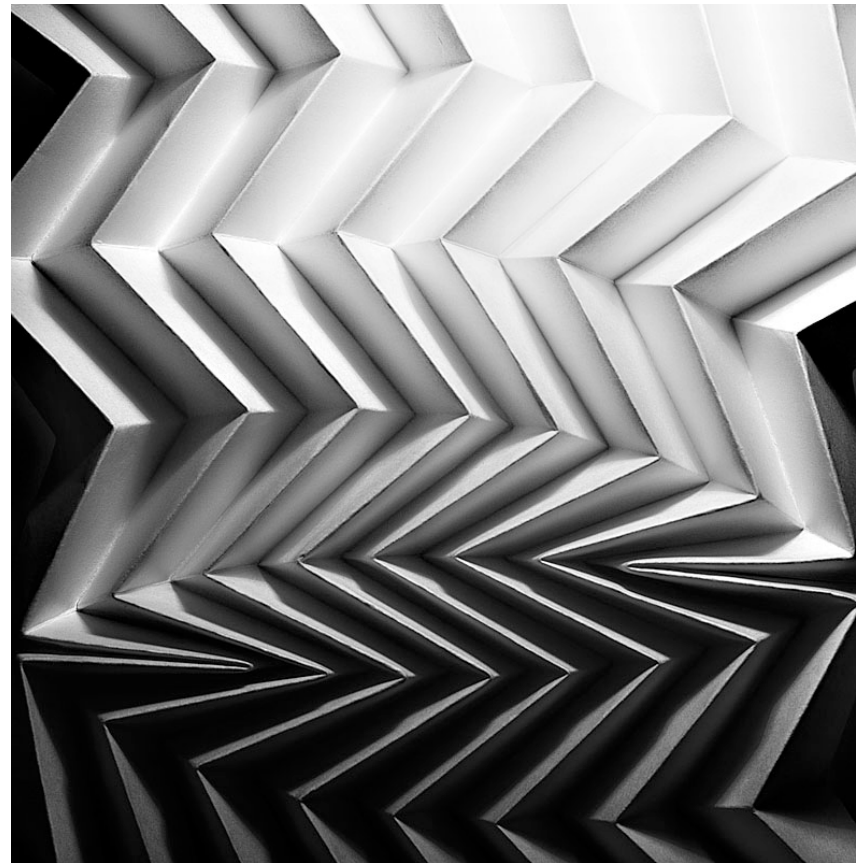


blocs glissants



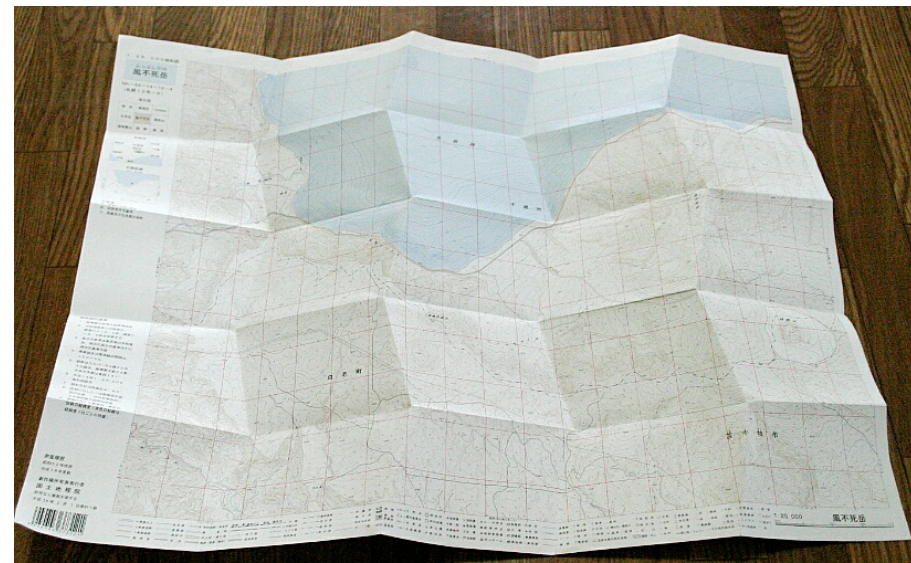
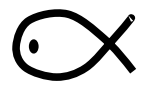
三浦公亮  
K. Miura 1930-

*Miura ori*   $< 0$

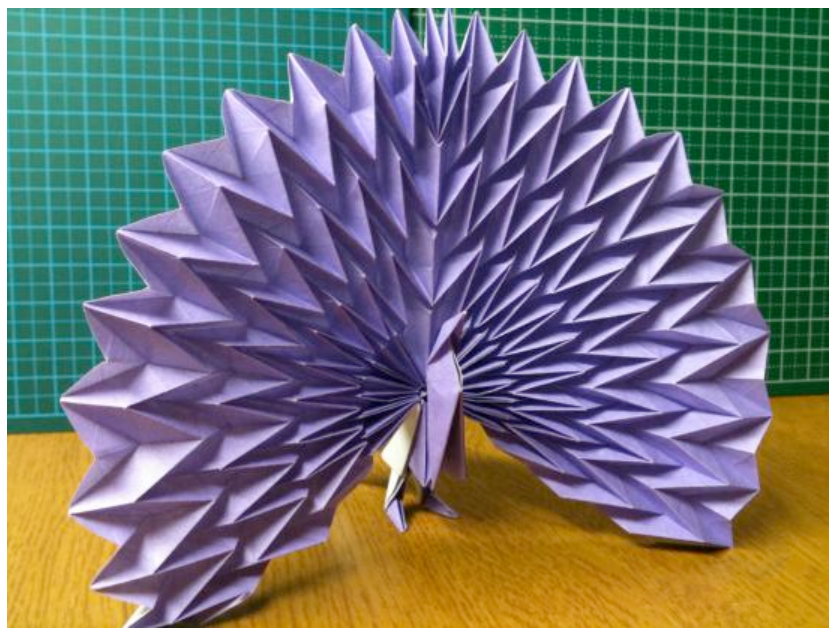
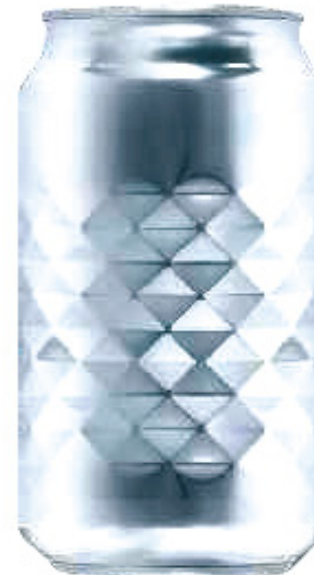




carte en Miura ori ,  
facile à plier grâce à



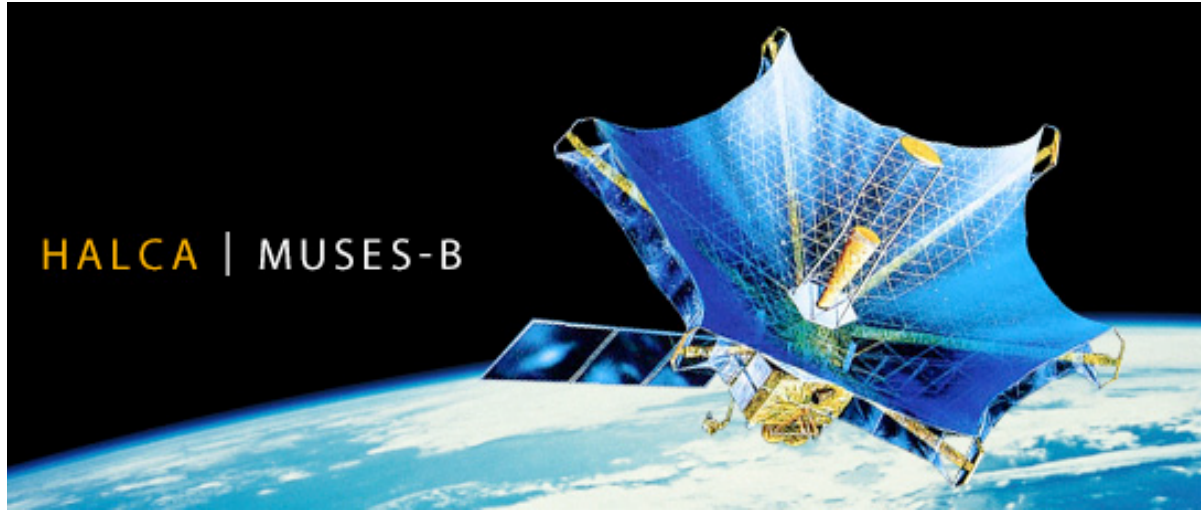
A l'ouverture , la pression intérieure tombe ,  
la canette subit un *flambage* ,  
et autour de sa taille apparaît un Miura ori .



paon avec des ailes escamotables

... un modèle en origami ,  
mais la vraie *nature biologique* aussi  
est pleine de

$$\textcircled{X} < 0$$

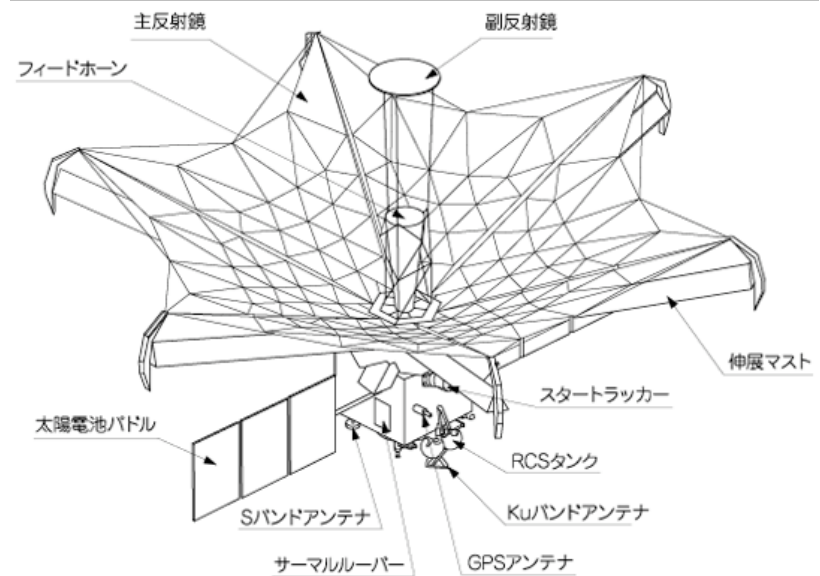


は  
る  
か

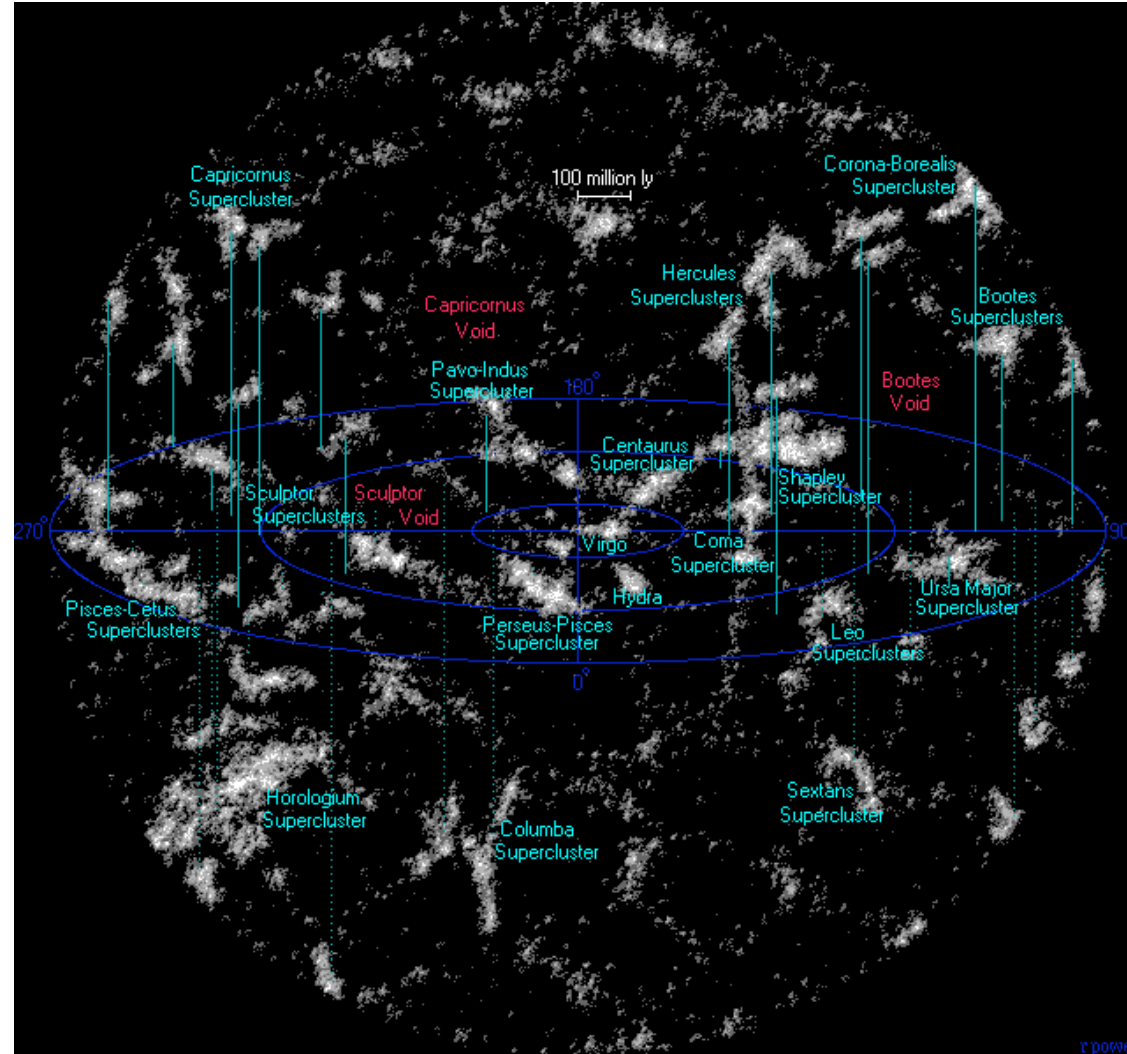
<http://www.isas.ac.jp/e/enterp/missions/halca/index.shtml>



$\alpha < 0$   
panneau solaire  
d'un satellite artificiel  
lancé 12/2/1997



L'univers , qui se déplie de lui-même —  $\text{---} < 0$  ?



$\text{---} < 0$  surtout compatible avec  
le scénario *hyperbolique* du modèle de Friedmann

1 exposé  $\approx$  50 minutes =  $3 \times 10^3$  sec

1 an  $\approx$  ? sec

$1 \text{ exposé} \approx 50 \text{ minutes} = 3 \times 10^3 \text{ sec}$

$1 \text{ an} \approx \pi \times 10^7 \text{ sec}$  (erreur < 0,4 %)

donc

$1 \text{ siècle} \approx 3 \times 10^9 \text{ sec}$

$$1 \text{ exposé} \approx 50 \text{ minutes} = 3 \times 10^3 \text{ sec}$$

$$1 \text{ an} \approx \pi \times 10^7 \text{ sec} \quad (\text{erreur} < 0,4\%)$$

donc

$$1 \text{ siècle} \approx 3 \times 10^9 \text{ sec}$$

$$\implies 1 \text{ exposé} \approx 1 \text{ micro-siècle}$$

$$1 \text{ exposé} \approx 50 \text{ minutes} = 3 \times 10^3 \text{ sec}$$

$$1 \text{ an} \approx \pi \times 10^7 \text{ sec} \quad (\text{erreur} < 0,4\%)$$

donc

$$1 \text{ siècle} \approx 3 \times 10^9 \text{ sec}$$

$$\implies 1 \text{ exposé} \approx 1 \text{ micro-siècle}$$

*Merci de votre compagnie  
pendant ce micro-siècle*

